

## Buts de ce cours.

Etudier une configuration A plus générale que celle apparaissant sur la transition  $J_g=1 \leftrightarrow J_e=1$  excitée en  $\delta^+-\delta^-$ . Montrer que

- la force moyenne peut être non nulle, contrairement à ce qui se passe pour  $J_g=1 \leftrightarrow J_e=1$  et  $\delta^+-\delta^-$ .
- le phénomène de piégeage cohérent de population subsiste et donne naissance à des "résonances noires" étroites sur le taux de fluorescence.
- de nouveaux mécanismes de refroidissement sub-Doppler peuvent apparaître.

## ① Le modèle étudié

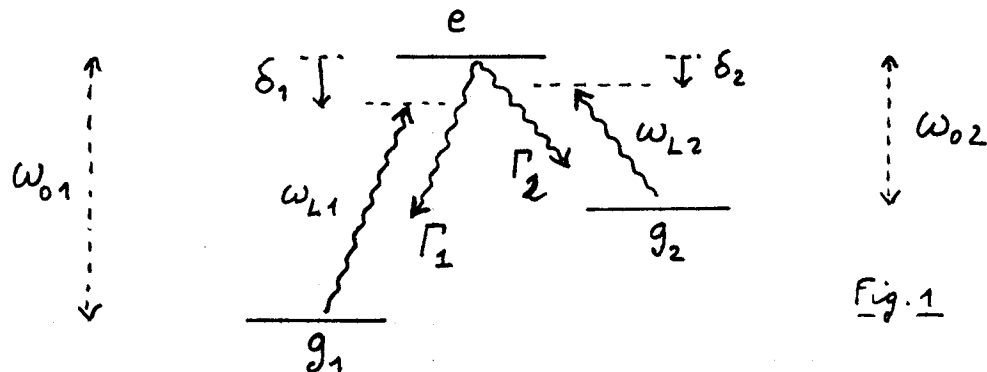


Fig. 1

### Niveaux atomiques (Fig. 1)

- Atome à 3 niveaux  $e, g_1, g_2$
- Fréquences atomiques  $e \leftrightarrow g_1 : \omega_{01}$ ,  $e \leftrightarrow g_2 : \omega_{02}$   
les fréquences  $\omega_{01}$  et  $\omega_{02}$  peuvent être très différentes  
(Exemple de  $Ba^+$  :  $\lambda_1 = 493 nm$      $\lambda_2 = 650 nm$ )
- Taux d'émission spontané  
" " " "       $e \rightarrow g_1 : \Gamma_1$   
" " " "       $e \rightarrow g_2 : \Gamma_2$

$$\Gamma = \Gamma_1 + \Gamma_2 \quad (4.1)$$

$\Gamma$  : Largeur naturelle de  $e$  - Pas d'émission spontanée  $g_2 \rightarrow g_1$

### Lasers (Fig. 2)

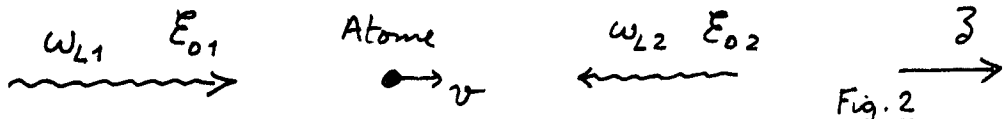


Fig. 2

- Fréquences  $\omega_{L1}$  et  $\omega_{L2}$  proches de  $\omega_{01}$  et  $\omega_{02}$   
On néglige l'excitation (très non résonante) de  $g_2 \leftrightarrow e$  par  $\omega_{L1}$  et  $g_1 \leftrightarrow e$  par  $\omega_{L2}$

Désaccords

$$\delta_1 = \omega_{L1} - \omega_{01}$$

$$\delta_2 = \omega_{L2} - \omega_{02}$$

(4.2)

Condition de résonance Raman

$$\delta_1 = \delta_2 \rightarrow \omega_{L1} - \omega_{L2} = \omega_{01} - \omega_{02} \quad (4.3)$$

Couplages

Fréquence de Rabi :  $\Omega_1$ , sur la transition  $g_1 \leftrightarrow e$   
 " " " "  $\Omega_2$ , " " " "  $g_2 \leftrightarrow e$

② Les équations de basea - Hamiltonien:- Hamiltonien atomique:

Traitement semi-classique de la position

$$z = vt \quad (4.4)$$

On prend pour énergie zéro, celle de l'état  $e$ 

$$H_A = -\frac{\hbar\omega_{01}}{2} |g_1\rangle\langle g_1| - \frac{\hbar\omega_{02}}{2} |g_2\rangle\langle g_2| \quad (4.5)$$

- Couplage atome-lasers:

$$V_{AL} = \frac{\hbar\Omega_1}{2} |e\rangle\langle g_1| e^{ik_1 z} e^{-i\omega_{L1} t} + h.c.$$

$$+ \frac{\hbar\Omega_2}{2} |e\rangle\langle g_2| e^{-ik_2 z} e^{-i\omega_{L2} t} + h.c. \quad (4.6)$$

Les exponentielles en  $z$  viennent de la propagation spatiale qui se fait pour les 2 ondes dans des directions opposées, avec des vitesses d'onde  $k_1 = \omega_{L1}/c$  et  $-k_2 = -\omega_{L2}/c$ . Si l'on remplace  $z$  par  $vt$  dans (4.6), on voit apparaître les fréquences "vues" par l'atome dans son référentiel au repos et décalées de  $\omega_{L1}$  et  $\omega_{L2}$  par effet Doppler :  $\omega_{L1} - k_1 v$  et  $\omega_{L2} + k_2 v$ .

b. Équations de Bloch optiques

$$\frac{d\sigma}{dt} = \frac{i}{\hbar} [H_A + V_{AL}, \sigma] + \left( \frac{d\sigma}{dt} \right)_{\text{em. spontanée}} \quad (4.7)$$

Forme des termes d'émission spontanée

$$(\dot{\sigma}_{ee})_{\text{em.sp.}} = -\Gamma \sigma_{ee}$$

$$(\dot{\sigma}_{eg_1})_{\text{em.sp.}} = -\frac{\Gamma}{2} \sigma_{eg_1}$$

$$(\dot{\sigma}_{eg_2})_{\text{em.sp.}} = -\frac{\Gamma}{2} \sigma_{eg_2}$$

$$(\dot{\sigma}_{g_1 g_1})_{\text{em.sp.}} = \Gamma_1 \sigma_{ee}$$

$$(\dot{\sigma}_{g_2 g_2})_{\text{em.sp.}} = \Gamma_2 \sigma_{ee}$$

$$(\dot{\sigma}_{g_1 g_2})_{\text{em.sp.}} = 0$$

La dernière équation est justifiée, soit par des arguments de symétrie ( $g_1$  et  $g_2$  ont des moments quantiques  $m$  différents, de sorte que  $\sigma_{g_1 g_2}$  ne se transforme pas par rotation comme  $\sigma_{ee}$ ), soit par des arguments d'approximation séculaire (même si  $g_1$  et  $g_2$  avaient la même symétrie, le couplage par émission spontanée entre  $\sigma_{ee}$  et  $\sigma_{g_1 g_2}$  est négligeable car la différence entre les fréquences propres de  $\sigma_{ee}$  et  $\sigma_{g_1 g_2}$  est très grande devant  $\Gamma$ ).

c - Changement de fonctions - Transformation unitaire

- Les équations déduites de (4.7), ont des coefficients dépendant du temps

à cause des termes en  $e^{-i\omega_{L1}t}$ ,  $e^{-i\omega_{L2}t}$ ,  $e^{ik_1 z}$ ,  $e^{-ik_2 z}$  (avec  $z=vt$ ) de (4.6).

- On peut vérifier alors qu'il est possible d'obtenir un nouveau système d'équations avec des coefficients indépendants du temps moyennant le changement de fonctions

$$\left\{ \begin{array}{l} \tilde{\sigma}_{1e} = \sigma_{1e} e^{ik_1 z} e^{-i\omega_{L1} t} = \sigma_{1e} e^{-i(\omega_{L1} - k_1 v)t} \\ \tilde{\sigma}_{2e} = \sigma_{2e} e^{-ik_2 z} e^{-i\omega_{L2} t} = \sigma_{2e} e^{-i(\omega_{L2} + k_2 v)t} \\ \tilde{\sigma}_{12} = \sigma_{12} e^{i(k_1 + k_2)z} e^{-i(\omega_{L1} - \omega_{L2})t} = \sigma_{12} e^{-i[(\omega_{L1} - k_1 v) - (\omega_{L2} + k_2 v)]t} \end{array} \right. \quad (4.9)$$

- La transformation (4.9) peut encore être considérée comme résultant d'une transformation unitaire  $T(t)$  appliquée à  $\sigma$

$$\tilde{\sigma} = T(t) \sigma T^+(t) \quad (4.10)$$

$$T(t) = e^{-iS(t)} \quad \text{avec } S = S^+ \quad (4.11)$$

$$\begin{aligned} S(t) &= (\omega_{L1} t - k_1 z) |g_1\rangle\langle g_1| + (\omega_{L2} t + k_2 z) |g_2\rangle\langle g_2| \\ &= (\omega_{L1} - k_1 v)t |g_1\rangle\langle g_1| + (\omega_{L2} + k_2 v)t |g_2\rangle\langle g_2| \end{aligned} \quad (4.12)$$

Une telle opération généralise en fait le passage dans le référentiel en mouvement et tournant introduit dans le cours III.

- Nouvel hamiltonien. Même calcul que pour (3.8)

$$\tilde{H} = T(t) [H_A + V_{AL}] T^+(t) + i\hbar \left[ \frac{dT(t)}{dt} \right] T^+(t) \quad (4.13)$$

$$\tilde{V}_{AL} = T(t) V_{AL} T^+(t) = \frac{\hbar \Omega_1}{2} |e\rangle\langle g_1| + \frac{\hbar \Omega_2}{2} |e\rangle\langle g_2| + \text{h.c.} \quad (4.14)$$

On vérifie bien que  $T(t)$  fait disparaître toute dépendance temporelle dans  $V_{AL} T^+$

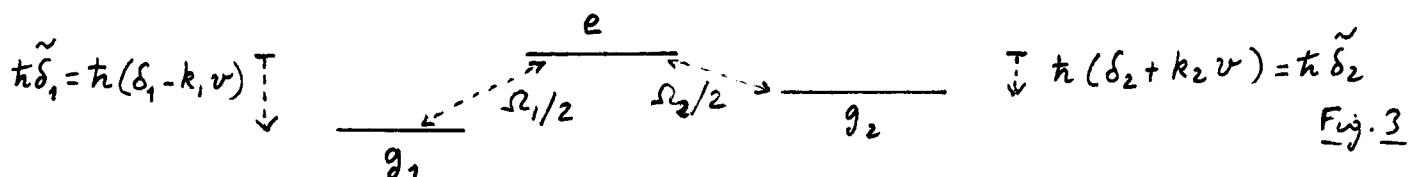
$$T(t) H_A T^+(t) = H_A \quad (4.15)$$

$$i\hbar \left[ \frac{d}{dt} T(t) \right] T^+(t) = \hbar \frac{dS}{dt} = \hbar(\omega_{L1} - k_1 v) |g_1\rangle\langle g_1| + \hbar(\omega_{L2} + k_2 v) |g_2\rangle\langle g_2| \quad (4.16)$$

En regroupant  $H_A$  et  $i\hbar \frac{d}{dt} T^+$ , on fait apparaître un nouvel hamiltonien atomique

$$\begin{aligned} \tilde{H}_A &= H_A + i\hbar \frac{d}{dt} T^+ = \hbar(\omega_{L1} - \omega_0 - k_1 v) |g_1\rangle\langle g_1| + \hbar(\omega_{L2} - \omega_0 + k_2 v) |g_2\rangle\langle g_2| \\ &= \hbar(\delta_1 - k_1 v) |g_1\rangle\langle g_1| + \hbar(\delta_2 + k_2 v) |g_2\rangle\langle g_2| \end{aligned} \quad (4.17)$$

dont les niveaux sont représentés sur la figure 3.



On a maintenant 3 niveaux très rapprochés (car  $\delta_1$ ,  $\delta_2$ ,  $k_1 v$ ,  $k_2 v$  sont très petits devant  $\omega_0$ , et  $\omega_0$ ), avec des couplages  $\Omega_1/2$  entre  $e$  et  $g_1$ ,  $\Omega_2/2$  entre  $e$  et  $g_2$ . On posera

$$\tilde{\delta}_1 = \delta_1 - k_1 v \quad \tilde{\delta}_2 = \delta_2 + k_2 v \quad (4.18)$$

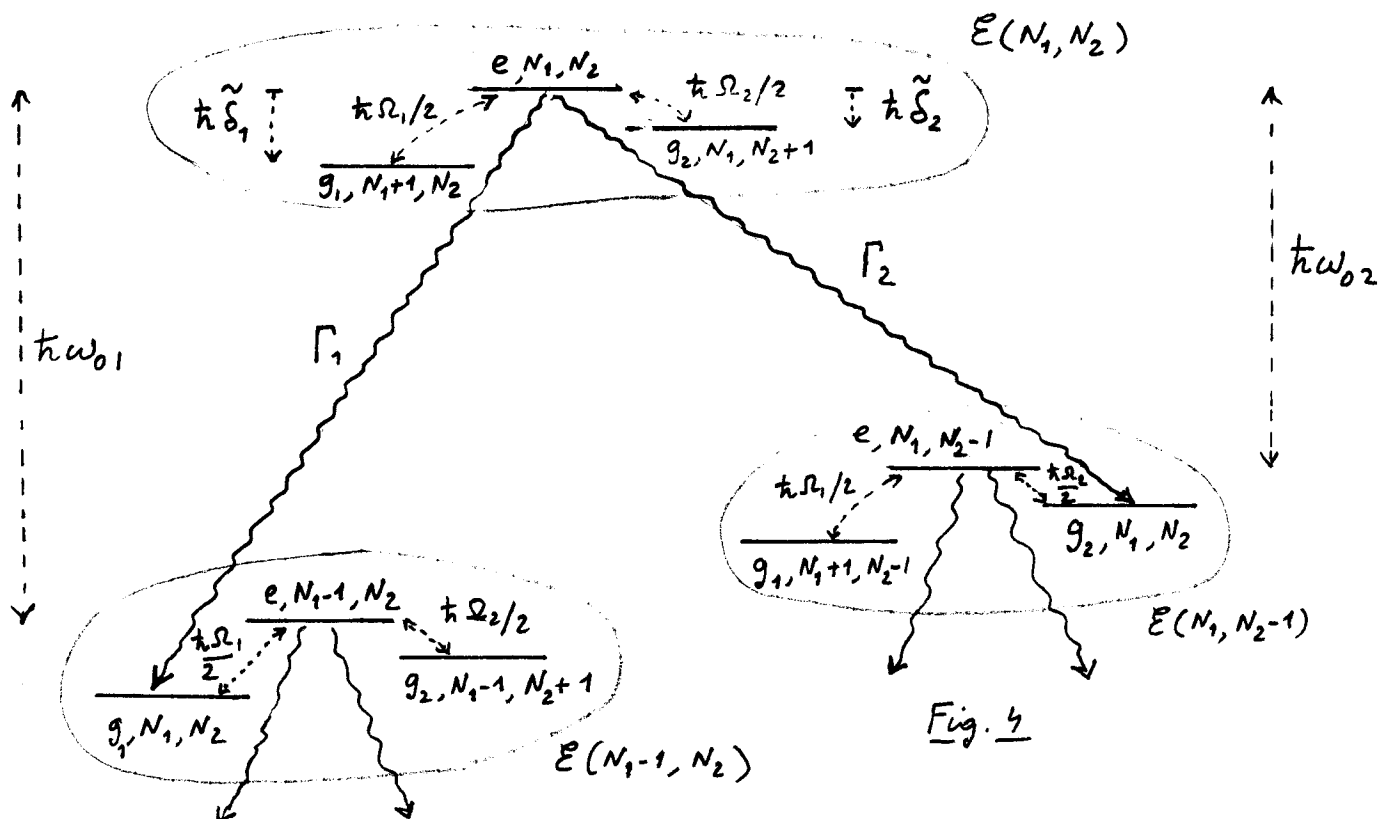
- Nouvelles équations de Bloch optiques  
Après (4.9), les équations (4.7) deviennent

$$\left\{ \begin{array}{l} \dot{\tilde{\sigma}}_{ee} = -i\frac{\Omega_1}{2}(\tilde{\sigma}_{1e} - \tilde{\sigma}_{e1}) - i\frac{\Omega_2}{2}(\tilde{\sigma}_{2e} - \tilde{\sigma}_{e2}) - \Gamma \tilde{\sigma}_{ee} \\ \dot{\tilde{\sigma}}_{11} = i\frac{\Omega_1}{2}(\tilde{\sigma}_{1e} - \tilde{\sigma}_{e1}) + \Gamma_1 \tilde{\sigma}_{ee} \\ \dot{\tilde{\sigma}}_{22} = +i\frac{\Omega_2}{2}(\tilde{\sigma}_{2e} - \tilde{\sigma}_{e2}) + \Gamma_2 \tilde{\sigma}_{ee} \\ \dot{\tilde{\sigma}}_{1e} = -(i\tilde{\delta}_1 + \frac{\Gamma}{2})\tilde{\sigma}_{1e} - i\frac{\Omega_1}{2}(\tilde{\sigma}_{ee} - \tilde{\sigma}_{11}) + i\frac{\Omega_2}{2}\tilde{\sigma}_{12} \\ \dot{\tilde{\sigma}}_{2e} = -(i\tilde{\delta}_2 + \frac{\Gamma}{2})\tilde{\sigma}_{2e} - i\frac{\Omega_2}{2}(\tilde{\sigma}_{ee} - \tilde{\sigma}_{22}) + i\frac{\Omega_1}{2}\tilde{\sigma}_{21} \\ \dot{\tilde{\sigma}}_{12} = i(\tilde{\delta}_2 - \tilde{\delta}_1)\tilde{\sigma}_{12} - i\frac{\Omega_1}{2}\tilde{\sigma}_{e2} + i\frac{\Omega_2}{2}\tilde{\sigma}_{1e} \end{array} \right. \quad (4.19)$$

Nous avons utilisé les notations plus compactes  $\tilde{\sigma}_{eg_i} = \tilde{\sigma}_{ei}$  ( $i=1,2$ )  
 $\tilde{\sigma}_{g_ig_j} = \tilde{\sigma}_{ij}$ . Notons également que les éléments diagonaux de  $\tilde{\sigma}$  restent invariants par T :  $\tilde{\sigma}_{11} = \sigma_{11}$     $\tilde{\sigma}_{22} = \sigma_{22}$     $\tilde{\sigma}_{ee} = \sigma_{ee}$

#### d. Le point de vue de l'atome habillé

- les champs laser sont quantifiés. les états du système global A+L<sub>1</sub>+L<sub>2</sub> "atome + laser 1 + laser 2" sont repérés par 3 nombres quantiques, 1 pour l'atome ( $e, g_1, g_2$ ), 1 pour le nombre  $N_1$  de photons 1, 1 pour le nombre  $N_2$  de photons 2. On se place dans le référentiel au repos de l'atome de sorte que les fréquences laser sont  $\omega_{L1} - k_1 v$  et  $\omega_{L2} + k_2 v$
- les niveaux non-perturbés du système A+L<sub>1</sub>+L<sub>2</sub> se groupent en multiplicités  $E(N_1, N_2)$  de 3 niveaux, bien séparées les unes des autres, la disposition des niveaux à l'intérieur de chaque multiplicité étant la même que sur la figure 3. La figure 4 représente 3 de ces multiplicités.



- A l'intérieur de  $E(N_1, N_2)$ , le couplage  $\hbar\omega_{12}/2$  entre  $|g_1, N_1+1, N_2\rangle$  et  $|e, N_1, N_2\rangle$  exprime le fait que l'atome dans l'état  $g_1$ , en présence de  $N_1+1$  photons  $L_1$ , peut absorber un de ces photons et passer dans  $e$ , le système global passant dans  $|e, N_1, N_2\rangle$ . Idem pour le couplage  $\hbar\omega_{21}/2$  entre  $|g_2, N_1, N_2+1\rangle$  et  $|e, N_1, N_2\rangle$ .

Le système ne peut quitter la multiplicité  $E(N_1, N_2)$  que par émission spontanée à partir de  $|e, N_1, N_2\rangle$ . Il peut alors aller soit vers  $|g_1, N_1, N_2\rangle$  (qui appartient à  $E(N_1-1, N_2)$ ) avec un taux  $\Gamma_1$ , soit vers  $|g_2, N_1, N_2\rangle$  (qui appartient à  $E(N_1, N_2-1)$ ) avec un taux  $\Gamma_2$ . (Flèches ondulées de la figure 4). Noter que  $N_1$  et  $N_2$  ne changent pas au cours d'un processus d'émission spontanée. Seul l'état atomique change, passant de  $e$  à  $g_1$  ou de  $e$  à  $g_2$ .

- Le fait qui on retrouve la même structure dans la figure 3 et dans chaque multiplicité de la figure 4 montre que la transformation unitaire visant à éliminer toute dépendance explicite du temps dans l'hamiltonien revient en fait à quantifier les champs lasers. Le point de vue de l'atome bâtonnet est cependant plus fructueux car il associe à une suite de processus d'émission spontanée l'image d'une "cascade radiative de l'atome bâtonnet" descendant le long du son diagramme énergétique.

### ③ La force moyenne

#### a) Expression de la force moyenne $\vec{F}$

- Partons de l'expression semiclassique

$$\vec{F} = - \langle \vec{\nabla} V_{AL}(3) \rangle \quad (4.20)$$

En utilisant (4.6), et le fait que  $\langle (1e) \langle g_1, 1 \rangle \rangle = \tilde{\sigma}_{1e} \dots$ , on obtient

$$\vec{F} = \left[ -i\hbar k_1 \frac{\Omega_1}{2} \tilde{\sigma}_{1e} e^{ik_1 z} e^{-i\omega_{21} t} + i\hbar k_2 \frac{\Omega_2}{2} \tilde{\sigma}_{2e} e^{-ik_2 z} e^{-i\omega_{21} t} + \text{c.c.} \right] \vec{E}_3 \quad (4.21)$$

c'est à dire encore, compte tenu de (4.9)

$$\vec{F} = \left[ -i\hbar k_1 \frac{\Omega_1}{2} (\tilde{\sigma}_{1e} - \tilde{\sigma}_{e1}) + i\hbar k_2 \frac{\Omega_2}{2} (\tilde{\sigma}_{2e} - \tilde{\sigma}_{e2}) \right] \vec{E}_3 \quad (4.22)$$

- On peut alors utiliser les 2<sup>ème</sup> et 3<sup>ème</sup> équations (4.19) pour reexprimer  $\tilde{\sigma}_{1e} - \tilde{\sigma}_{e1}$  et  $\tilde{\sigma}_{2e} - \tilde{\sigma}_{e2}$ . On obtient ainsi

$$\vec{F} = \left\{ -\hbar k_1 [\tilde{\sigma}_{11} - \Gamma_1 \tilde{\sigma}_{ee}] + \hbar k_2 [\tilde{\sigma}_{22} - \Gamma_2 \tilde{\sigma}_{ee}] \right\} \vec{E}_3 \quad (4.23)$$

En régime stationnaire,  $\dot{\tilde{\sigma}}_{11} = \dot{\tilde{\sigma}}_{22} = 0$ , et on a finalement

$$\vec{F} = (\hbar k_1 \Gamma_1 - \hbar k_2 \Gamma_2) \tilde{\sigma}_{ee} \vec{E}_3 \quad (4.24)$$

- On aurait pu bien sûr, comme dans les cases I, II, III précédentes, éliminer artificiellement les cohérences optiques qui apparaissent dans l'expression (4.22) de  $\vec{F}$ , pour les reexprimer au moyen de (4.19) en fonction de  $\tilde{\sigma}_{11}$ ,  $\tilde{\sigma}_{22}$  et  $\tilde{\sigma}_{12}$ . Une telle procédure, valable seulement à faible intensité et faible vitesse, permettrait ensuite de séparer dans  $\vec{F}$  une partie réactive et une partie dissipative. La simplicité de la transition A étudiée ici permet d'obtenir plus rapidement une expression simple (4.24), valable de plus à toute intensité et toute vitesse.

## b) Interprétation physique

- D'après (4.24),  $F$  apparaît comme égale à  $\tau_1 k_1$  fois  $(dN_1/dt)_{sp}$ , où  $(dN_1/dt)_{sp} = \Gamma_1 \Omega_{ee}$  est le nombre de photons émis spontanément par seconde sur la transition  $e \rightarrow g_1$ , moins  $\tau_2 k_2$  fois  $(dN_2/dt)_{sp}$  où  $(dN_2/dt)_{sp} = \Gamma_2 \Omega_{ee}$  est le nombre de photons émis spontanément par seconde sur la transition  $e \rightarrow g_2$ .
- En fait, comme les photons émis spontanément ont une impulsion nulle (puisque les probabilités d'émission spontanée dans 2 directions opposées sont égales), on s'attendrait plutôt à avoir

$$F = \tau_1 k_1 (dN_1/dt)_{abs} - \tau_2 k_2 (dN_2/dt)_{abs} \quad (4.25)$$

où  $(dN_1/dt)_{abs}$  et  $(dN_2/dt)_{abs}$  sont les nombres de photons disparaissant par seconde des onde laser  $w_{L1}$  et  $w_{L2}$  par absorption. La démonstration de (4.25) résulte de la conservation de l'impulsion globale.

- Montrons que

$$(dN_1/dt)_{sp} = (dN_1/dt)_{abs} \quad (dN_2/dt)_{sp} = (dN_2/dt)_{abs} \quad (4.26)$$

Pour cela, il suffit de noter que, tout de suite après une émission spontanée sur  $e \rightarrow g_1$ , l'atome se trouve dans  $g_1$ , le système global étant par exemple dans l'état  $|g_1, N_1, N_2\rangle$  (voir Fig. 4). La prochaine émission spontanée ne pourra alors se faire qu'à partir de l'état  $|e, N_1+1, N_2\rangle$  qui appartient à la même multiplicité que  $|g_1, N_1, N_2\rangle$ , et nécessitera donc forcément l'absorption d'un photon  $w_{L1}$ . Concrètement, l'atome ne peut quitter l'état  $g_1$  que par absorption d'un photon  $w_{L1}$ . En d'autres termes, toute émission spontanée sur  $e \rightarrow g_1$  est nécessairement suivie de l'absorption d'un photon  $w_{L1}$ , d'où la 1<sup>re</sup> égalité (4.26). Même démonstration pour la 2<sup>me</sup> égalité. Notons qu'une émission spontanée sur  $e \rightarrow g_1$  n'est pas nécessairement précédée par l'absorption d'un photon  $w_{L2}$ . L'atome peut en effet "monter" dans  $e$ , soit à partir de  $g_1$  par absorption d'un photon  $w_{L2}$ , soit à partir de  $g_2$  par absorption d'un photon  $w_{L2}$ . La corrélation sur laquelle nous nous appuyons pour démontrer (4.26), et par suite l'identité entre (4.24) et (4.25) concerne donc un processus d'émission spontanée et le processus d'absorption suivant.

- Notons enfin que le raisonnement précédent permet de comprendre simplement pourquoi la force moyenne totale s'annule sur une transition  $J_g=1 \leftrightarrow J_e=1$  en  $S^+-S^-$ . On a en effet, dans ce cas,  $k_1 = k_2$  et  $\Gamma_1 = \Gamma_2$ .

## ④ Piégeage cohérent de populations - Résonances noires

### a) Etude à partir des équations de Bloch optique (Refs 2, 3, 4, 6)

- L'équation (4.24) montre que la force moyenne est, comme le taux de fluorescence  $R_F$ , proportionnelle à la population  $\Omega_{ee}$  de  $e$ . Pour étudier les variations de  $R_F$  ou  $F$  avec  $v$  (ou avec  $\delta_2, S_1$  et  $v$  étant fixés ...), une première méthode consiste à essayer de trouver la solution stationnaire des équations (4.19).

- En fait, il est possible d'obtenir une expression analytique de  $\tilde{\sigma}_{ee}$ . Voir par exemple Ref. 6. Nous ne la donnerons pas ici, préférant insister sur la discussion physique du § 4b suivant.
- Nous nous contenterons de vérifier que pour

$$\tilde{\delta}_2 = \tilde{\delta}_1 \quad (4.27)$$

la solution stationnaire de (4.19) correspond à  $\tilde{\sigma}_{ee} = 0$ . Pour cela, généralisant les résultats du cours III, nous pouvons essayer d'introduire une combinaison linéaire de  $|g_1\rangle$  et  $|g_2\rangle$  qui n'est pas couplé à  $|e\rangle$  par  $V_{AE}$  donné en (4.14)

$$|\Psi_{NC}\rangle = \frac{|\Omega_2|g_1\rangle - |\Omega_1|g_2\rangle}{\sqrt{|\Omega_1|^2 + |\Omega_2|^2}} \quad (4.28)$$

et voir si la matrice densité correspondant à (4.28)

$$\tilde{\sigma}_{ee} = \tilde{\sigma}_{e1} = \tilde{\sigma}_{e2} = 0 \quad \tilde{\sigma}_{11} = \frac{|\Omega_2|^2}{|\Omega_1|^2 + |\Omega_2|^2} \quad \tilde{\sigma}_{22} = \frac{|\Omega_1|^2}{|\Omega_1|^2 + |\Omega_2|^2} \quad \tilde{\sigma}_{12} = \frac{-\Omega_1\Omega_2}{|\Omega_1|^2 + |\Omega_2|^2} = \tilde{\sigma}_{21} \quad (4.29)$$

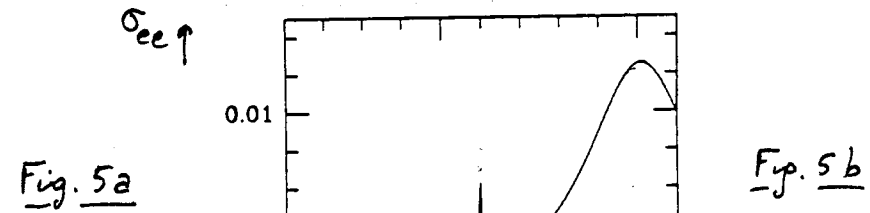
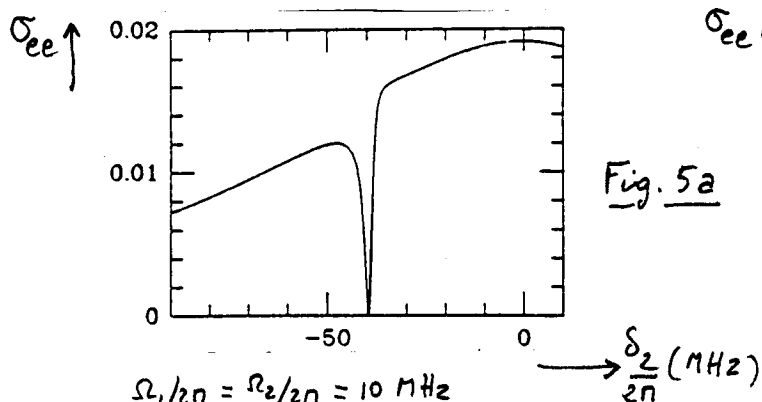
est une solution stationnaire de (4.19). Un calcul très simple montre que c'est bien ce qui se passe si  $\tilde{\delta}_2 - \tilde{\delta}_1 = 0$

Lorsque la condition de résonance Raman est vérifiée, les atomes sont donc piégés dans l'état (4.28), la fluorescence s'arrête et la force moyenne s'annule.

Notons bien que la condition de résonance Raman (4.27) correspond à l'égalité entre  $\tilde{\omega}_{e1} - \tilde{\omega}_{e2}$  (fréquences laser corrigées des déplacements Doppler) et  $\omega_{g1} - \omega_{g2}$  (fréquences atomiques non corrigées des déplacements lumineux).

- Lorsqu'on fait varier  $\tilde{\delta}_2 - \tilde{\delta}_1$  autour de 0, on constate sur la solution analytique ou numérique de (4.19) que  $\tilde{\sigma}_{ee}$  prend une valeur non nulle, les variations de  $\tilde{\sigma}_{ee}$  avec  $\tilde{\delta}_2 - \tilde{\delta}_1$  se faisant sur une plage très étroite, si les fréquences de Rabi  $\Omega_1$  et  $\Omega_2$  sont assez faibles. De telles résonances, avec disparition de la fluorescence au centre, ont été observées pour la 1<sup>re</sup> fois sur l'atome de Sodium (Ref. 1) et ont été appelées "résonances noires".

Quelques exemples de courbes théoriques, extraites de la Ref. 6, sont données sur les Figures 5a et 5b. Elles correspondent à  $\Gamma/2n = 21 \text{ MHz}$ ,  $\Gamma_1/\Gamma_2 \approx 3$  (cas de l'ion  $\text{Ba}^+$  où  $\epsilon = 6^2P_{1/2}$ ,  $g_1 = 6^2S_{1/2}$ ,  $g_2 = 5^2D_{3/2}$ ). On a pris  $v = 0$ ,  $\delta_1/2n = -40 \text{ MHz}$ , et on fait varier  $\delta_2$ .



$$\Omega_1/2n = \Omega_2/2n = 10 \text{ MHz} \quad \Omega_2/2n = 2 \text{ MHz} \quad \rightarrow \frac{\delta_2}{2n} (\text{MHz})$$

## b) Interprétation physique

- L'interprétation physique des résonances noires est plus facile à donner dans le point de vue de l'atome habillé. Pour cela, changeons de base à l'intérieur des multiplicités de la figure 4.

- Considérons par exemple la multiplicité  $E(N_1, N_2)$ . Introduisons 2 combinaisons linéaires orthogonales des états  $|g_1, N_1+1, N_2\rangle$  et  $|g_2, N_1, N_2+1\rangle$

$$\left\{ \begin{array}{l} |\Psi_C\rangle = \frac{\Omega_1}{\Omega} |g_1, N_1+1, N_2\rangle + \frac{\Omega_2}{\Omega} |g_2, N_1, N_2+1\rangle \\ |\Psi_{NC}\rangle = \frac{\Omega_2}{\Omega} |g_1, N_1+1, N_2\rangle - \frac{\Omega_1}{\Omega} |g_2, N_1, N_2+1\rangle \end{array} \right. \quad (4.30.a)$$

$$\left\{ \begin{array}{l} |\Psi_C\rangle = \frac{\Omega_1}{\Omega} |g_1, N_1+1, N_2\rangle + \frac{\Omega_2}{\Omega} |g_2, N_1, N_2+1\rangle \\ |\Psi_{NC}\rangle = \frac{\Omega_2}{\Omega} |g_1, N_1+1, N_2\rangle - \frac{\Omega_1}{\Omega} |g_2, N_1, N_2+1\rangle \end{array} \right. \quad (4.30.b)$$

avec

$$\Omega = \sqrt{\Omega_1^2 + \Omega_2^2} \quad \text{par } \tilde{V}_{AL} \quad (4.30.c)$$

telle que, seule  $|\Psi_C\rangle$  soit complée à  $|e, N_1, N_2\rangle$ ,  $|\Psi_{NC}\rangle$  ne l'étant pas.

En utilisant l'expression (4.14) de  $\tilde{V}_{AL}$ , on trouve en effet que

$$\left\{ \begin{array}{l} \langle e, N_1, N_2 | \tilde{V}_{AL} | \Psi_C \rangle = \frac{\hbar \Omega}{2} \\ \langle e, N_1, N_2 | \tilde{V}_{AL} | \Psi_{NC} \rangle = 0 \end{array} \right. \quad (4.31.a)$$

$$\left\{ \begin{array}{l} \langle e, N_1, N_2 | \tilde{V}_{AL} | \Psi_C \rangle = \frac{\hbar \Omega}{2} \\ \langle e, N_1, N_2 | \tilde{V}_{AL} | \Psi_{NC} \rangle = 0 \end{array} \right. \quad (4.31.b)$$

- A l'intérieur de  $E(N_1, N_2)$ ,  $\tilde{V}_{AL}$  n'est pas le seul hamiltonien à prendre en compte. Il y a également l'hamiltonien propre de l'atome et des photons laser

$$H_0 = H_A + \hbar \tilde{w}_1 N_1 + \hbar \tilde{w}_{22} N_2 \quad (4.32)$$

où  $N_1 = a_1^\dagger a_1$  et  $N_2 = a_2^\dagger a_2$  sont les opérateurs nombres de photons  $w_1$  et  $w_{22}$ . L'hamiltonien (4.32) est le correspondant quantique de l'hamiltonien semi-classique obtenu en (4.17) après la transformation T. En prenant pour zéro d'énergie, l'énergie de  $|e, N_1, N_2\rangle$ , on a (voir Fig. 4)

$$H_0 = \hbar \tilde{\delta}_1 |g_1, N_1+1, N_2\rangle \langle g_1, N_1+1, N_2| + \hbar \tilde{\delta}_2 |g_2, N_1, N_2+1\rangle \langle g_2, N_1, N_2+1| \quad (4.33)$$

En utilisant (4.30), il est facile alors de calculer les éléments de matrice de  $H_0$  dans la base  $\{|e, N_1, N_2\rangle, |\Psi_C\rangle, |\Psi_{NC}\rangle\}$

Éléments diagonaux de  $H_0$

$$\left\{ \begin{array}{l} \langle e, N_1, N_2 | H_0 | e, N_1, N_2 \rangle = 0 \end{array} \right. \quad (4.34.a)$$

$$\left\{ \begin{array}{l} \langle \Psi_C | H_0 | \Psi_C \rangle = \hbar \tilde{\delta}_C \\ \langle \Psi_{NC} | H_0 | \Psi_{NC} \rangle = \hbar \tilde{\delta}_{NC} \end{array} \right. \quad (4.34.b)$$

$$\left\{ \begin{array}{l} \langle \Psi_C | H_0 | \Psi_{NC} \rangle = \hbar \tilde{\delta}_{NC} \end{array} \right. \quad (4.34.c)$$

avec

$$\left\{ \begin{array}{l} \tilde{\delta}_C = \frac{\tilde{\delta}_1 \Omega_1^2 + \tilde{\delta}_2 \Omega_2^2}{\Omega^2} \end{array} \right. \quad (4.35.a)$$

$$\left\{ \begin{array}{l} \tilde{\delta}_{NC} = \frac{\tilde{\delta}_1 \Omega_2^2 + \tilde{\delta}_2 \Omega_1^2}{\Omega_1^2 + \Omega_2^2} \end{array} \right. \quad (4.35.b)$$

Notons que  $\tilde{\delta}_C$  et  $\tilde{\delta}_{NC}$  sont égaux dans 2 cas

$$(i) \quad \Omega_1 = \Omega_2 \quad \rightarrow \quad \tilde{\delta}_C = \tilde{\delta}_{NC} = \frac{\tilde{\delta}_1 + \tilde{\delta}_2}{2} \quad (4.36)$$

$$(ii) \quad \tilde{\delta}_1 = \tilde{\delta}_2 = \tilde{\delta} \quad \rightarrow \quad \tilde{\delta}_C = \tilde{\delta}_{NC} = \tilde{\delta} \quad (4.37)$$

## Éléments non-diagonaux de $H_0$

les seuls non nuls sont

$$\langle \Psi_C | H_0 | \Psi_{NC} \rangle = \langle \Psi_{NC} | H_0 | \Psi_C \rangle = \frac{\hbar \Omega_1 \Omega_2}{\Omega_1^2 + \Omega_2^2} (\tilde{\delta}_1 - \tilde{\delta}_2) \quad (4.38)$$

- La figure 6 récapitule tous les résultats précédents en donnant, à l'intérieur de  $E(N_1, N_2)$ , la position des niveaux  $|e, N_1, N_2\rangle$ ,  $|4c\rangle$ ,  $|4_{NC}\rangle$  et les couplages qui existent entre eux :  $\hbar \Omega/2$  entre  $|e, N_1, N_2\rangle$  et  $|4c\rangle$  (voir 4.31.2) et  $\hbar \Omega_1 \Omega_2 (\tilde{\delta}_1 - \tilde{\delta}_2)/\Omega^2$  entre  $|4c\rangle$  et  $|4_{NC}\rangle$  (voir 4.38)

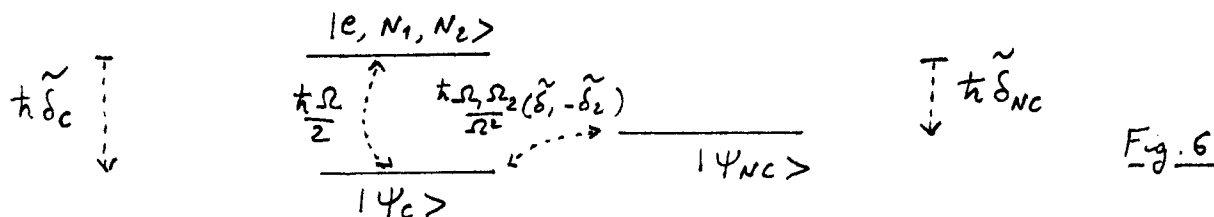


Fig. 6

- Commençons alors à supposer que  $\tilde{\delta}_1 = \tilde{\delta}_2$  (condition de résonance Raman entre niveaux non perturbés). Il est clair alors sur la figure 6 que le niveau  $|4_{NC}\rangle$  est totalement découplé des 2 autres.

Dans la cascade radiative de l'atome battillé, l'état  $|4_{NC}\rangle$  qui est contaminé par  $g_1$  et  $g_2$  peut être alimenté par émission spontanée à partir du niveau  $e$  d'une multiplicité située plus haut en énergie. Une fois que l'atome battillé est dans l'état  $|4_{NC}\rangle$  il ne plus plus alors quitter cet état, car il n'est couplé à aucun des 2 autres états de la multiplicité et il ne connaît aucune contamination de  $e$  qui lui permette de se désintégrier par émission spontanée vers les multiplicités plus basses. L'état  $|4_{NC}\rangle$  est un piège parfait pour  $\tilde{\delta}_1 = \tilde{\delta}_2$ .

- Dès que  $\tilde{\delta}_1 - \tilde{\delta}_2$  n'est plus nul, on voit sur la figure 6 que l'état  $|4_{NC}\rangle$  est couplé à l'état  $|4c\rangle$ , lequel est lui-même couplé à l'état instable  $|e, N_1, N_2\rangle$ . Par double contamination, celle de  $|4c\rangle$  par  $|e, N_1, N_2\rangle$ , puis celle de  $|4_{NC}\rangle$  par  $|4c\rangle$ , l'état  $|4_{NC}\rangle$  acquiert donc une certaine instabilité. L'état  $|4_{NC}\rangle$  n'est donc plus un piège parfait pour  $\tilde{\delta}_1 - \tilde{\delta}_2 \neq 0$  et on comprend bien pourquoi la fluorescence réapparaît autour de  $\tilde{\delta}_1 - \tilde{\delta}_2 = 0$  quand on balaye  $\tilde{\delta}_1 - \tilde{\delta}_2$ . Une étude plus poussée des contaminations de  $|4c\rangle$  par  $|e, N_1, N_2\rangle$  et de  $|4_{NC}\rangle$  par  $|4c\rangle$  permettrait de rendre compte de la forme des résonances molles (voir Fig. 5) et de l'évolution de cette forme avec  $\Omega_1, \Omega_2, \delta_1, \delta_2$ .

- En conclusion, on peut dire que l'étude présentée ici généralise celle présentée à la fin du cours III, le couplage (4.38) généralisant le couplage inertielle (3.25) entre  $|4_S\rangle$  et  $|4_A\rangle$ .

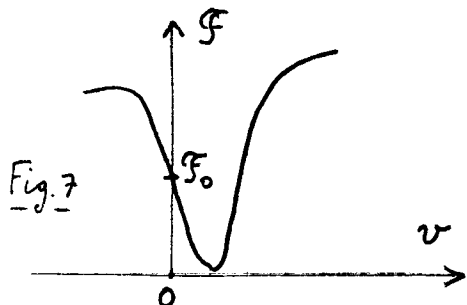
## (5) Refroidissement sub-Doppler

- Supposons que,  $\delta_1$  et  $\delta_2$  étant fixés, on fasse varier la vitesse  $v$  de l'atome autour de 0. D'après (4.18)

$$\delta_1 - \delta_2 = \delta_1 - \delta_2 - (k_1 + k_2)v \quad (4.39)$$

ce qui montre que  $\delta_1 - \delta_2$  varie autour de  $\delta_1 - \delta_2$ . D'après les résultats du § 4 précédent, la force moyenne, qui est proportionnelle à  $Gee$ , présente en fonction de  $v$  des résonances molles étroites.

- Imaginons que l'on règle  $\delta_1, \delta_2$  de manière que, pour  $v=0$ , on soit sur le flanc descendant d'une résonance noire (Fig. 7)



Pour  $v=0$ ,  $F$  a donc une valeur non nulle,  $F_0$ , qui peut être compensée par une force de rappel statique si l'atome (ou l'ion) est dans un piège. Il apparaît alors clairement que la force  $F-F_0$  varie très vite autour de  $v=0$ , et s'écrit pour  $v$  assez petit

$$F-F_0 = -\alpha v \quad (4.30)$$

où  $\alpha$  est un coefficient de friction.

- A faible intensité, la hauteur de la résonance noire de la figure 7 est proportionnelle au taux de fluorescence en dehors de la résonance, donc à l'intensité laser  $I_L$ . Sa largeur est déterminée par le déplacement lumineux et la largeur radialement de l'état  $| \psi_c \rangle$ . Elle est donc aussi proportionnelle à  $I_L$ . On en déduit que la pente à mi-hauteur, c'est à dire  $\alpha$ , est indépendante de  $I_L$ .

- Un tel mécanisme de refroidissement est mentionné dans la référence 7. Aucun rapprochement n'est fait dans cette référence avec les mécanismes de refroidissement Raman étudiés dans les références 8 à 12. Les 2 effets doivent pourtant être reliés.

- Notons enfin que les résonances noires existent quel que soit le signe de  $\delta_1$  et  $\delta_2$ . Or, on peut toujours régler  $\delta_1, \delta_2$  pour se placer sur le flanc descendant d'une résonance noire. À la différence des refroidissement  $0^+ - 0^-$  (pour  $J_g=1 \leftrightarrow J_e=2$ ), le mécanisme précédent peut fonctionner quel que soient  $\delta_1, \delta_2$ .

## Références

- (1) G. Alzetta, A. Gorzini, L. Moi, G. Oriols *Nuovo Cimento* B 56, 5 (1976)
- (2) E. Arimondo, G. Oriols *Nuovo Cimento Lett.* 17, 133 (1976)
- (3) R.W. Whitley, C.R. Stroud *Phys. Rev. A 15*, 1498 (1976)
- (4) P.M. Radmore, P.L. Knight *J. Phys. B 15*, 561 (1982)
- (5) J. Dalibard, S. Reynaud, C. Cohen-Tannoudji in *Interaction of Radiation with Matter*, a Volume in Honor of A. Gorzini, Scuola Normale Superiore, Pisa (1987)
- (6) G. Janitz, W. Nagourney, H. Dehmelt, *J.O.S.A.* B 2, 1251 (1985)
- (7) V.G. Minogin, M.A. Olshanay, S.V. Shulga, *J.O.S.A.* B 6, 2108 (1989)
- (8) P.E. Toschek *Ann. Phys. Fr.* 10, 761 (1985)
- (9) H. Gilchens, Th. Sauter, W. Neuhäuser, R. Blatt, P.E. Toschek *Opt. Commun.* 69, 25 (1988)
- (10) P.E. Toschek, W. Neuhäuser, *J.O.S.A.* B 6, 2220 (1989)
- (11) H. Dehmelt, G. Janitz, W. Nagourney, *B.A.P.S.* 30, 612 (1985)
- (12) M. Lindberg, J. Javanainen *J.O.S.A. B 3*, 1008 (1986)